Concours National Commun (CNC), Maroc

Session 2013, filière TSI

Technologies et sciences industrielles : génie électrique

Durée : 3 heures

Ce que traite le sujet

- Présentation générale
- Partie A : Etude du moteur M1 d'entrainement de la vis de l'Extrudeuse
- Partie B : Etude du système de variation de vitesse du moteur M1
- Partie C : Etude de la régulation de température de zone
- Partie D : Etude du circuit de commande du gradateur de chauffage des colliers

Sujet reproduit sans retouche à partir de la page suivante.

Résumé des parties, chapitres de cours liés et autres années :
prepahelp.com/annales/cnc/tsi/2013/genie-electrique

Prepa Help ne revendique aucun droit sur le sujet, propriété de l'organisateur du concours.

CNC ***SESSION 2013***

Filière : TSI

Épreuve de Génie Électrique

Temps conseillé : 3 Heures

Aucun document n'est autorisé
Calculatrice autorisée

L'épreuve de Génie Électrique se compose :

- *d'un texte de l'épreuve (douze pages numérotées de 1 à 12)*
- *d'une annexe (page 13)*
- *de deux documents réponse (page 14 et 15)*

Le candidat devra composer et rendre obligatoirement même vides :

- ***Le cahier des réponses réservé à l'épreuve GE***
- ***Les 2 documents réponse figurant respectivement sur les pages 14et 15du texte de l'épreuve***

Si un candidat est amené à repérer ce qui peut lui sembler être une erreur d'énoncé, il le signalera sur sa copie et devra poursuivre sa composition en expliquant les raisons des initiatives qu'il a été amené à prendre.

Présentation générale :

Une entreprise fabrique et commercialise une colle thermoplastique. Elle utilise une extrudeuse qui sert au traitement continu de granulat de colle thermoplastique. Le granulat mis dans l'entonnoir, entre dans un tube chauffé par des colliers chauffants et muni d'une vis d'Archimède. Cette vis sans fin transporte la matière première pour la faire fondre dans le cylindre chauffé.

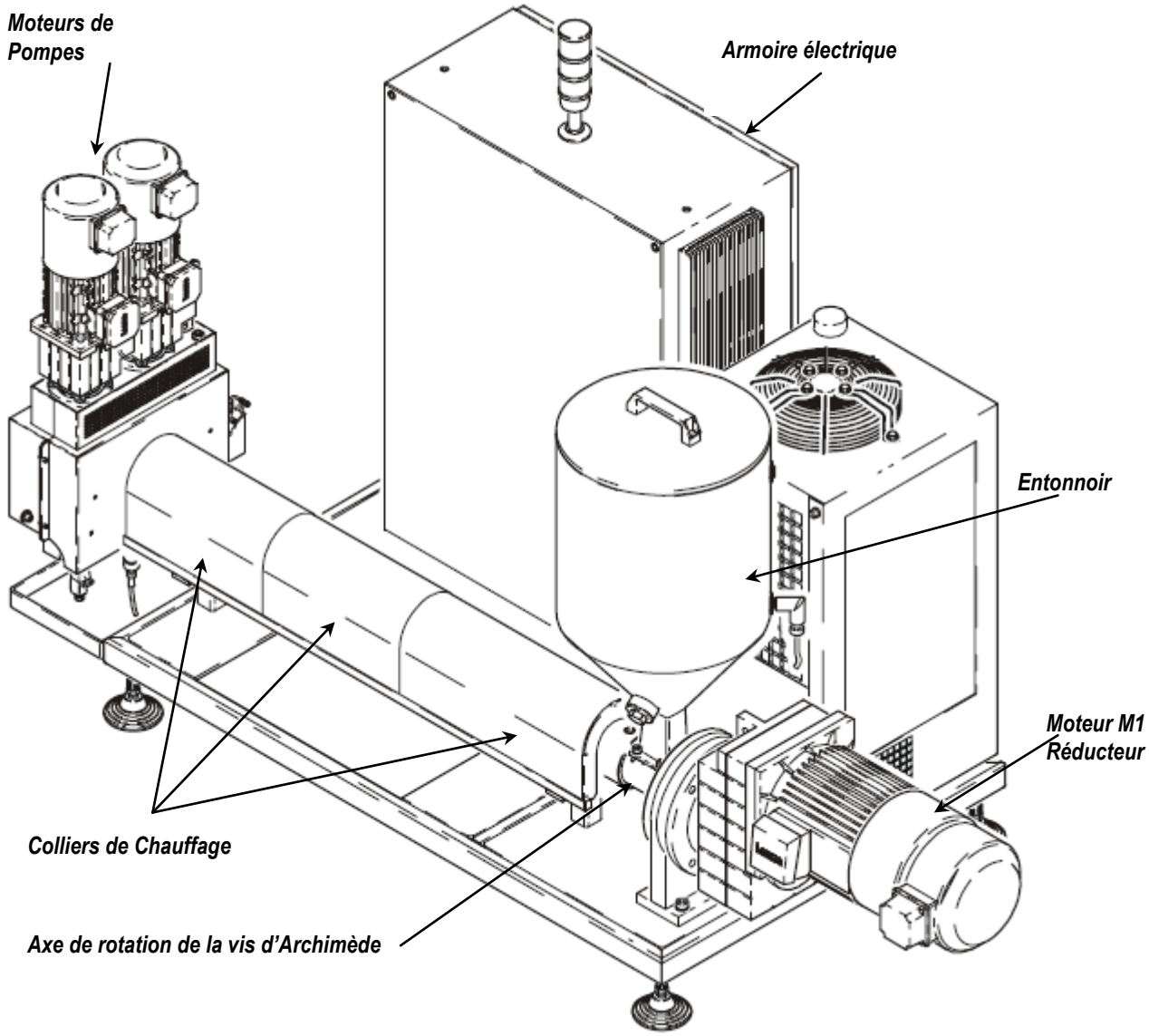


***Figure 1** : Vue d'ensemble*

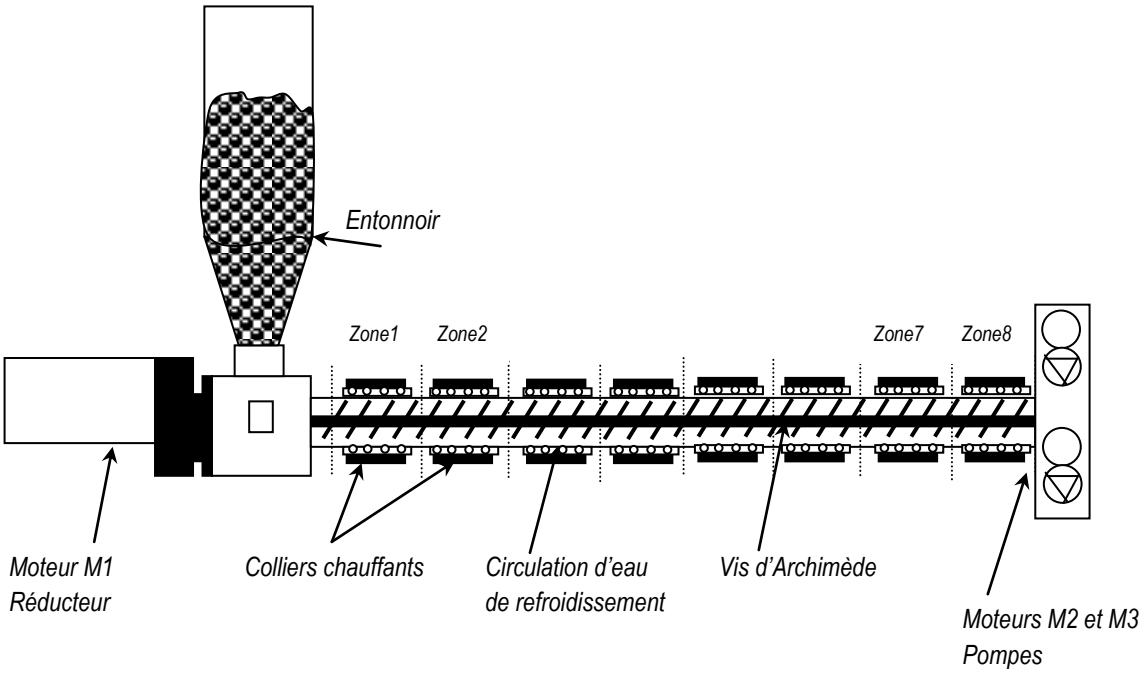


***Figure 2* : Schéma de principe**

Caractéristiques générales de l'extrudeuse :

- **Le débit de fusion**: 200 Kg/h (dépendant du type de colle)
- **La motorisation:**
  - L'extrudeuse est entrainée par un moteur triphasé M1 de 22 kW, muni d'un réducteur à trains directs.
  - La station à pompage est équipée deux moteurs triphasés M2, M3 : de 2,2kW
  - Trois moteurs aérateurs assurent le refroidissement des moteurs : M1, M2 et M3,
- **La gamme de réglage de la vitesse de la vis est :** de 5 à 100 tr/min.
- **La tension d'emploi :** 3 x 400 V~ +N+PE, 50Hz
- **La puissance de l'ensemble des colliers de chauffage est : 79000 W**
- **La température d'exploitation suivant les zones est :** de 50 °C à 240 °C

Le sujet se compose principalement de 4 parties indépendantes :

Partie A : *Étude du moteur M1 d'entrainement de la vis de l'extrudeuse.*

Partie B : *Étude de la variation de vitesse du moteur M1d'entrainement de la vis.*

Partie C : *Étude de la régulation de température de zone.*

Partie D :*. Étude du circuit de commande de la gâchette d'un thyristor du gradateur de chauffage des colliers.*

Partie A : Étude du moteur M1 d'entrainement de la vis de l'Extrudeuse.

L'extrudeuse est entrainée via un réducteur par un moteur $\mathbf{M_1}$ asynchrone triphasé alimenté par un onduleur de tension à modulation de largeur d'impulsion MLI.

La plaque signalétique du moteur $\mathbf{M_1}$ indique les caractéristiques suivantes :

- Puissance mécanique nominale : P_n=22Kw,
- Tensions : 230 V / 400 V,
- Vitesse nominale : N_n = 1 445 tr .min^{-1}, pour f=50Hz,
- Intensité nominale : I_n = 43,5 A,
- Facteur de puissance : cosφ_n = 0,83,
- Rendement : η = 88 %,
- Courant de démarrage : $I_d = 6{,}5I_n$.

Pour modéliser une phase de la machine on adopte le schéma monophasé simplifié équivalent représenté par la figure (3). Et on cherche à déterminer les éléments de ce schéma.

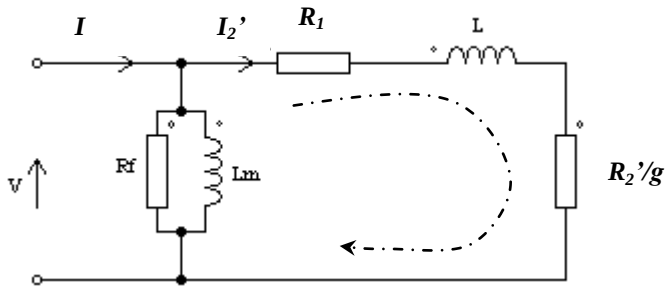


***Figure 3** : Schéma monophasé simplifié du Moteur* $\mathbf{M_1}$

- $\boldsymbol{R_f}$ *:* la résistance fictive modélisant les pertes fer et les pertes mécaniques.
- ***Lm*** : l'inductance magnétisante,
- ***L*** *:* l'inductance de fuites ramenée au stator,
- $\boldsymbol{R_1}$: la résistance des enroulements du stator,
- $\frac{R'_2}{g}$: la résistance équivalente des enroulements du rotor ramenée au stator.

A.1. Quel est le nombre $\boldsymbol{p}$ de paires de pôles de cette machine ?

A.2. Calculer la valeur du glissement nominal $\boldsymbol{g_n}$.

A.3. à vide, la vitesse du moteur est proche de la vitesse de synchronisme, et il absorbe une puissance active de $\mathbf{P_0 = 1{,}4\ kW}$ et un courant de $\mathbf{I_0 = 4{,}4\ A}$.

A.3.1. À quoi se ramène alors le schéma équivalent de la machine ?

A.3.2. Calculer la puissance réactive $\mathbf{Q_0}$ absorbée à vide.

A.3.3. Déterminer alors les valeurs de R_f et Lm.

A.4. Pour le point de fonctionnement nominal on demande de :

A.4.1. Calculer les valeurs des puissances active P_{abs} et réactive Q_{abs} consommées par le moteur.

A.4.2. En déduire la valeur de la puissance apparente S_2' de la maille parcourue par I_2'.

A.4.3. Calculer la valeur I_2'.

A.4.4. En admettant que Les pertes fer et les pertes mécaniques sont identiques. Calculer la puissance transmise au rotor P_{tr} .

A.4.5. Calculer les pertes joule P_{jr} dans le rotor. En déduire la valeur de la résistance R_2'.

A.4.6. Sachant que $P_{abs} = P_{fer} + P_{R1} + P_{tr}$, déterminer alors la valeur de la résistance R_1.

A.4.7. Calculer la valeur de l'inductance L.

A.5. Donner l'expression littérale du courant I_2' en fonction de V et des grandeurs du schéma équivalent.

A.6. Sachant que la puissance électromagnétique transmise au rotor est dissipée dans la résistance (R_2'/g), montrer que l'expression du couple électromagnétique peut s'écrire :

$$C_{em} = \frac{3pV^2}{2\pi f} \frac{gR_2'}{(gR_1+R_2')^2+(gL\omega)^2}.$$

A.7. Vérifier que pour un glissement g est proche de zéro, l'expression du couple électromagnétique devient : $C_{em} \approx \frac{3p}{2\pi} \frac{V^2}{f^2} \frac{gf}{R_2'}$

Partie B : Étude du système de variation de vitesse du moteur M1

Pour garantir un fonctionnement à coulpe constant dans la plage de variation de vitesse de la vis, le moteur est alimenté par un onduleur à modulation de largeur d'impulsion (MLI) à rapport V/f=constant. Un redresseur PD3 alimente l'ensemble à travers un filtre LC.

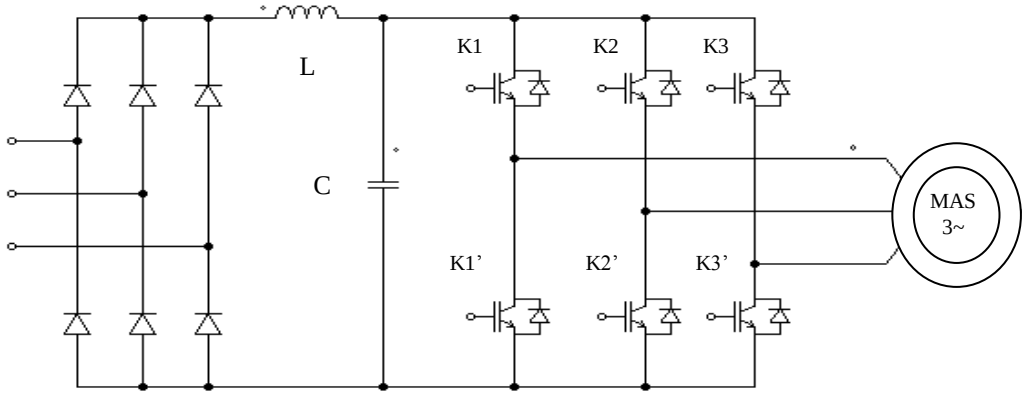


***Figure 4* : Alimentation du Moteur M_1**

Le moteur fonctionne à couple constant égal à 150 Nm jusqu'à 1500tr/min, puis à puissance constante.

B.1. Quelle est la puissance mécanique maximale P_{umax} à développer par le moteur ?

B.2. Calculer le rapport $\mathbf{k_r}$ de réduction du réducteur nécessaire pour faire correspondre la vitesse de 1500tr/min du moteur à la vitesse de rotation maximale de 100tr/min de la vis.

B.3. La figure (5) représente le réseau des zones utiles de la caractéristique mécanique pour des fréquences différentes. On donne : $V/f = 4.6\ v/Hz$

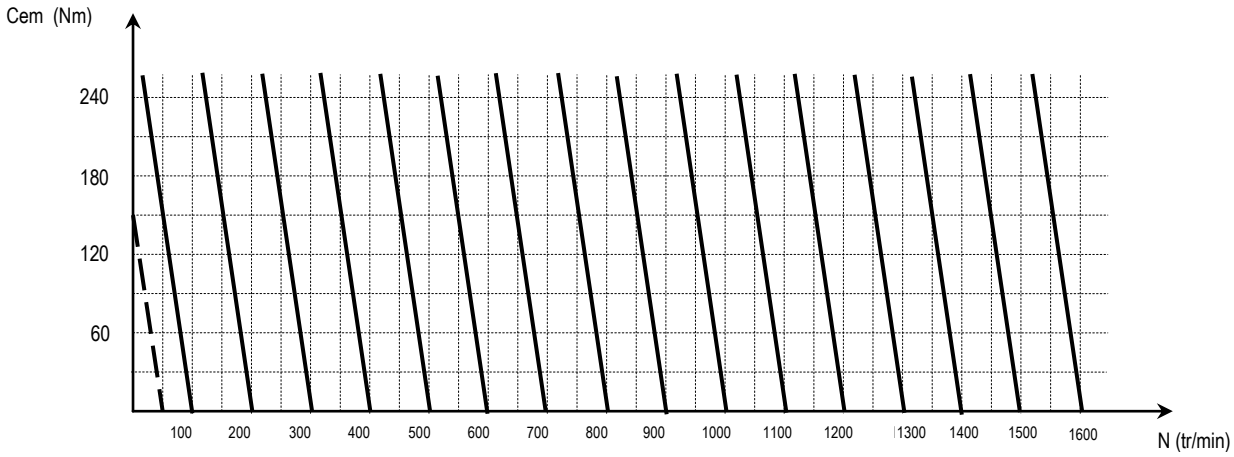


***Figure 5* : réseau des zones utiles de la caractéristique mécanique**

B.3.1. Pour avoir un point de fonctionnement du moteur de $P_{f0}(1500tr/min, 150Nm)$, que doit être la vitesse de synchronisme N_{s0}? En déduire la valeur de la fréquence f_0 de la tension délivrée par l'onduleur.

B.3.2. En utilisant le graphe de la figure (5), **recopier** sur votre copie et compléter alors le tableau ci-dessous indiquant, pour un point de fonctionnement donné, les valeurs de la vitesse de synchronisme **Ns**, la fréquence **f** et la valeur efficace **V** de la tension délivrées par l'onduleur.

Points de Fonctionnement	**Vitesse de Synchronisme (tr/min)**	**Fréquence de la tension ondulée (Hz)**	**Valeur efficace de la tension ondulée (v)**
P_{f1}(1200tr/min, 150Nm)	N_{s1}=1250	f_1= ……..	V_1= ……..
P_{f2}(……..tr/min, 150Nm)	N_{s2}=……..	f_2= 30	V_2= ……..
P_{f3}(……..tr/min, 90Nm)	N_{s3}=650	f_3=……..	V_3= ……..
P_{f4}(……..tr/min, 90Nm)	N_{s1}=……..	f_4= ……..	V_4= 161

B.3.3. On désire faire démarrer le moteur avec un couple de 150Nm, quelle doit être la valeur minimale $\mathbf{f_{min}}$ de la fréquence délivrée par l'onduleur? En déduire la valeur de la tension $\mathbf{V_{min}}$ correspondante. Cette valeur est-elle suffisante pour faire démarrer le Moteur ?

B.3.4. La figure (6) représente l'allure de la loi de commande de l'onduleur $\mathbf{V} = \boldsymbol{f}(\mathbf{f})$. Justifier sa forme en basses et en hautes fréquences.

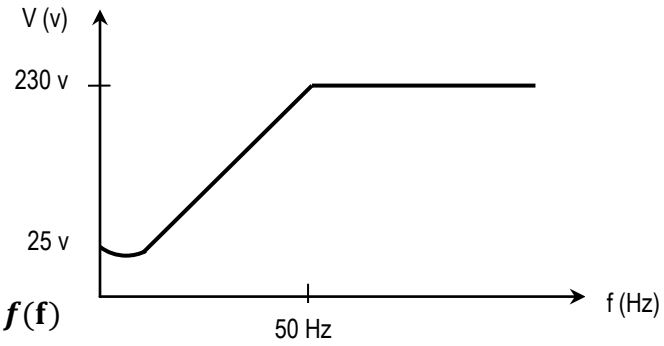


***Figure 6** : loi de commande de l'onduleur* $\mathbf{V} = \boldsymbol{f}(\mathbf{f})$

Partie C : Étude de la régulation de température de zone

Dans cette partie on s'intéresse à la régulation de la température des fourreaux, plus exactement à la zone n°2. Le chauffage est obtenu par des résistances chauffantes alimentées par des gradateurs à thyristors. La mesure de la température effectuée dans chaque zone par thermocouple. Le refroidissement est assuré par la circulation d'un fluide.

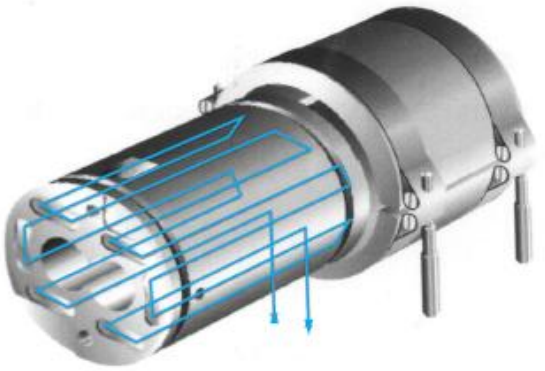


***Figure 7** : Resistances de Chauffage des colliers*

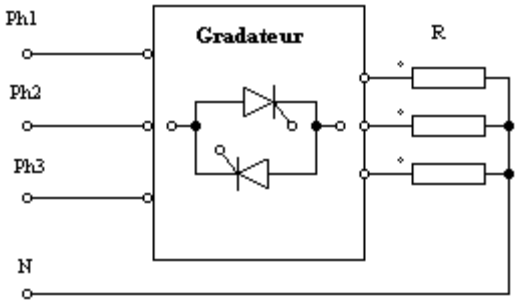
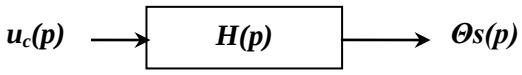


***Figure 8** : Gradateur triphasé à thyristor*

On admet que l'ensemble des dispositifs (collier, gradateur, Résistances chauffantes et capteur de température) peut être modélisé par la fonction de transfert suivante :

$$H(p) = \frac{\theta s(p)}{uc(p)} = \frac{Ke^{-\tau p}}{1+Tp}$$

- $K = 10$ gain statique,
- $\tau = 30s$ retard pur en secondes,
- $T = 240s$ constante du temps en secondes



Le dispositif de régulation de la température est inséré dans une boucle à retour unitaire :

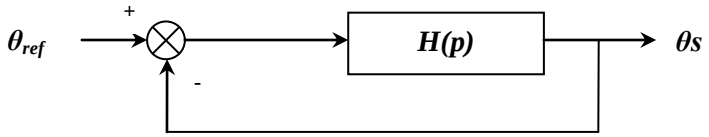


***Figure 9* : boucle de régulation de température**

C.1. Donner l'expression du module et de la phase de $H(j\omega)$ en régime harmonique.

C.2. Tracer l'allure de la représentation de $H(j\omega)$ dans le plan de Nyquist. Le système est il absolument stable en boucle fermé ?

C.3. Vérifier qu'à la pulsation $\omega = 0.055\, rad/s$; $\mathbf{Arg(H(j\omega))} \approx -\boldsymbol{\pi}\ \mathbf{rad}$. En déduire la marge de gain en dB? Cette valeur est-elle suffisante pour préserver la stabilité du système ?

C.4. Calculer la valeur de l'erreur statique pour une entrée en échelon θ_{ref}**(p)=5/p.** Que doit-on faire pour la réduire davantage ou l'annuler ?

C.5. Pour améliorer les performances du dispositif, un correcteur PID série est inséré dans la boucle de régulation de fonction de transfert $C(p) = K_c\ \frac{1+T_i p}{T_i p}(1 + T_d p)$

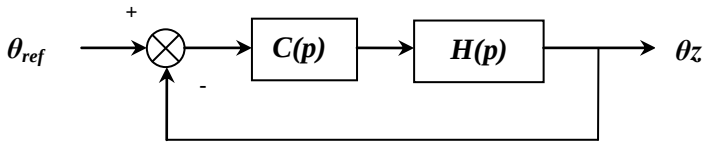


***Figure 10* : boucle de régulation de température avec correction**

On règle les paramètres du correcteur comme suit :

- la constante d'intégration à la valeur : $T_i = T$.
- la constante de dérivation à la valeur : $T_d = \frac{T}{3}$

C.5.1. Donner la nouvelle Fonction de Transfert en Boucle Ouverte.

C.5.2. Que devient la nouvelle valeur de l'erreur statique ? Justifier votre réponse.

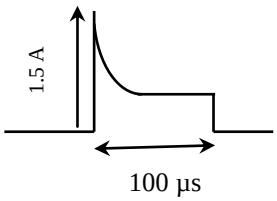
C.5.3. Vérifier qu'à la pulsation $\omega_\pi = 0.101 rad/s$ $\mathbf{Arg(C(j\omega)H(j\omega))} \approx -\boldsymbol{\pi}$ **rad**.

C.5.4. Quelle valeur faut t-il donner à K_c pour avoir une marge de gain de 6dB ?

Partie D : Étude du circuit de commande du gradateur de chauffage des colliers

Dans cette partie on étudie le principe de la commande à la fermeture des thyristors. On doit générer des impulsions synchronisées avec le réseau avec un angle de retard à l'amorçage de ψ. La tension du réseau est : $u(t) = 230\sqrt{2}\, sin 2\pi f t$, de fréquence $f = 50Hz$. On cherche à réaliser des impulsions de courant ayant la forme indiquée par la figure 11, décalables par rapport à la tension $u(t)$ à l'aide d'un potentiomètre RP. Ces impulsions sont destinées à exciter la gâchette d'un thyristor à travers un transformateur d'impulsion de rapport de transformation égale à 1.

***Figure 11** : Allure du courant désiré de gâchette*



Par souci de clarté, on étudie séparément chaque montage élémentaire. La figure (12) montre le schéma synoptique du montage :

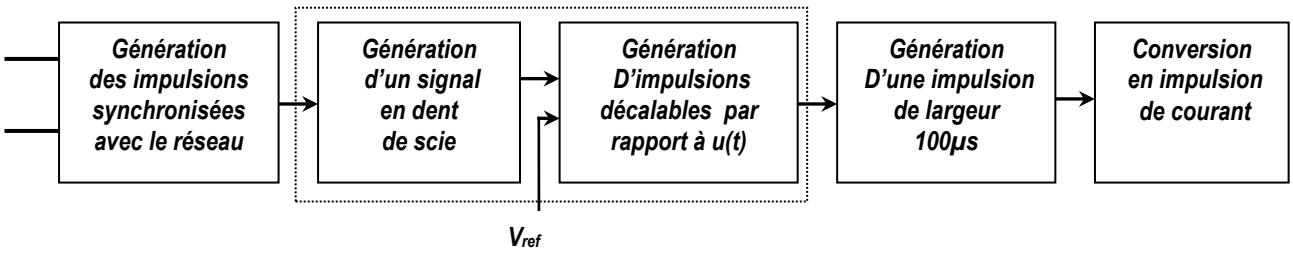


***Figure 12** : Schéma bloc des étages du montage*

D.1. Génération des impulsions synchronisées avec le réseau

La figure (13) représente le circuit de génération d'impulsions synchronisées avec le réseau. La tension de seuil des diodes D1 et D2 est $\boldsymbol{V_{seuil}=0.6V}$. Les amplificateurs opérationnels sont supposés parfaits et sont alimentés sous une tension symétrique +Vcc=+15V et –Vcc=-15V.

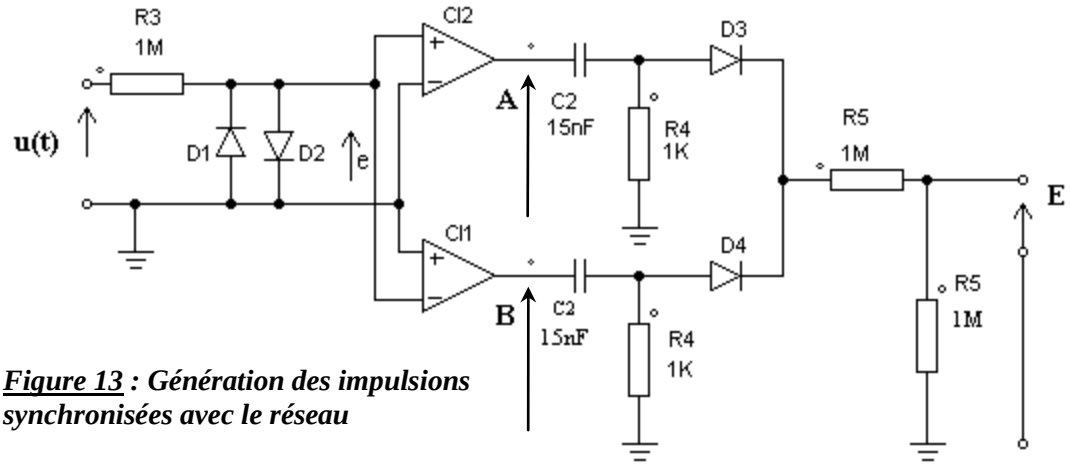


***Figure 13** : Génération des impulsions synchronisées avec le réseau*

D.1.1. Sur **le document réponse 1**, on donne l'allure des tensions **u(t)** et **e(t)**, compléter le tracer des signaux $\mathbf{V_A(t)}$ au point A et $\mathbf{V_B(t)}$ au point B.

D.1.2. Quel est le rôle les diodes D1 et D2 ?

D.1.3. Les couples (C2, R4) réalisent une fonction de dérivateur, les diodes D3 et D4 sont supposées parfaites. Donner l'expression du signal $\mathbf{V_E(t)}$ au point E en fonction de **Vcc**, **C2**, **R4** et de **t**.

D.1.4. Tracer l'allure de $\mathbf{V_E(t)}$ sur **le document réponse 1**.

D.1.5. Calculer la largeur Δt des impulsions générées, sachant qu'elle vaut 3 fois la constante du temps des circuits dérivateurs.

D.2. Générations du signal en dents de scie et d'impulsion retardée

Les impulsions de synchronisation générées au point E sont utilisées pour décharger brutalement et périodiquement le condensateur C3 à travers le transistor T1 du montage de la figure (4).

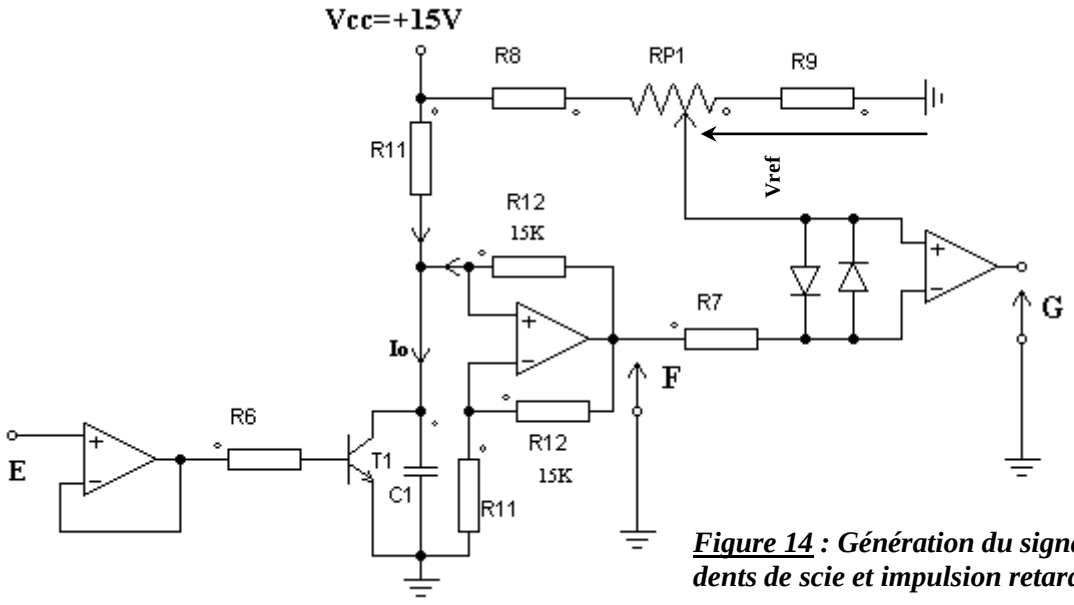


***Figure 14** : Génération du signal en dents de scie et impulsion retardé*

On donne :

$C_1 = 0.1\mu F;\ R_6 = 14.1K\Omega;\ R_{12} = 15K\Omega;\ R_7 = 10K\Omega;\ R_8 = 5K\Omega;\ R_9 = 1K\Omega;\ RP_1 = 9K\Omega;$

À chaque demi-période le Transistor T1 conduit pendant Δt pour décharger le condensateur C1.

D.2.1. Quand le transistor T1 est bloqué (VE(t)=0), monter que le condensateur C1 se charge à courant constant $I_0 = \frac{V_{cc}}{R_{11}}$ et calculer R11 pour avoir $I_0 = 0.1\text{mA}$

D.2.2. Donner l'expression de la tension Vc(t) aux bornes du condensateur C1et calculer sa valeur à la fin de chaque demi-période (T/2=10ms).

D.2.3. Montrer que l'expression de la tension $V_F(t)$ est : $\mathbf{V_F(t) = 1100t}$.

D.2.4. Tracer, sur le document réponse 2 l'allure de la tension $V_F(t)$.

D.2.5. Tracer sur le document réponse 2 l'allure de la tension $V_G(t)$ pour une tension de référence de V_{ref} =6v.

D.2.6. Pour V_{ref} =6v, quel sera la valeur de l'angle ψ de retard à l'amorçage (en degré) du thyristor.

D.3. Génération d'impulsions de largeur de 100µs

Pour générer l'impulsion désirée on utilise le monostable MM 74C 221. C'est un double monostable en technologie CMOS. Un extrait du document constructeur est donné en ***Annexe 1***.

L'impulsion générée est de largeur T (fonction uniquement des composants extérieurs C_{ext} et R_{ext}) et de hauteur $+V_{CC}$.

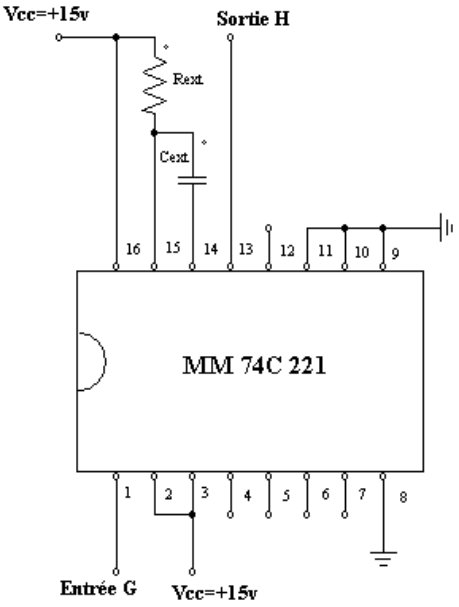


***Figure 15** : Branchement du monostable*

D.3.1. Vu le branchement du monostable et d' après la table de vérité du circuit donnée dans l'annexe 1, la sortie H est-elle active sur niveau bas, sur niveau haut, sur font descendant ou sur front montant ?

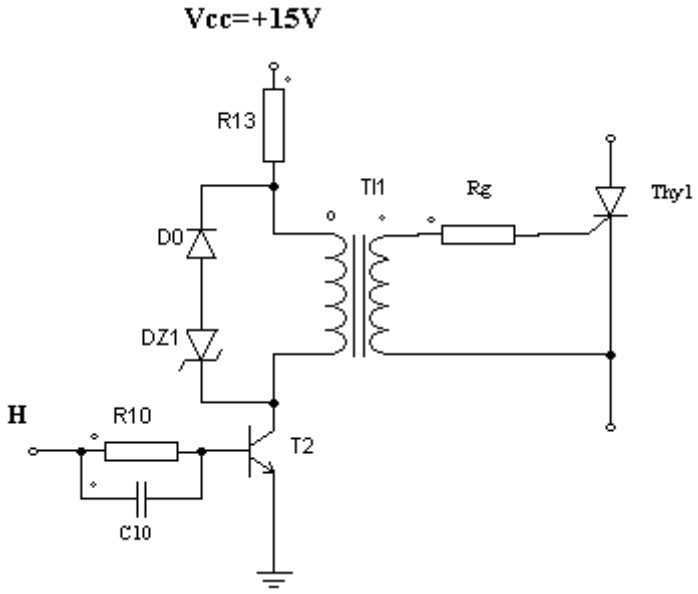
D.3.2. Avec C_{ext}=0.01µF, quelle doit être la valeur de R_{ext} pour obtenir la largeur de l'impulsion de T=100µs ?

D.3.3. Tracer l'allure du signal H(t) sur le document réponse 2.

D.4. Conversion en impulsions de courant

Le transformateur d'impulsion utilisé est de référence IT312. Le constructeur indique qu'il possède une surface ***tension*temps :*** $V_0\tau = 1200\mu s$ et un rapport de transformation unitaire.

***Figure 16**: Montage d'attaque du Thyristor*



D.4.1. Quel est le rôle dans ce montage du transformateur d'impulsion ?

D.4.2. On suppose que lorsque le transistor T2 est saturé (V_{CE}=0), le courant le courant moyen est de 1A. Quelle doit être la valeur de R_{13} pour que la tension V_p aux bornes du primaire ne dépasse pas 10V ?

D.4.3. Avec une tension au primaire de V_p=10V, vérifier que l'état du circuit magnétique reste loin de la saturation.

D.4.4. Quels sont les rôles des éléments suivants : D0 et Dz ?

D.4.5. Quelle est la tension Zener Vz que doit avoir la diode Dz pour que la démagnétisation du TI se fasse aussi dans une durée de 100µs ?

Annexe 1

MM74C221
Dual Monostable Multivibrator

General Description

The MM74C221 dual monostable multivibrator is a monolithic complementary MOS integrated circuit. Each multivibrator features a negative-transition-triggered input and a positive-transition-triggered input, either of which can be used as an inhibit input, and a clear input.

Once fired, the output pulses are independent of further transitions of the A and B inputs and are a function of the external timing components C_{EXT} and R_{EXT}. The pulse width is stable over a wide range of temperature and V_{CC}.

Pulse stability will be limited by the accuracy of external timing components. The pulse width is approximately defined by the relationship $t_{W(OUT)} = C_{EXT} R_{EXT}$. For further information and applications, see AN-138.

Features

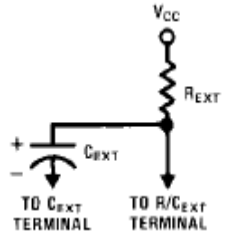
- Wide supply voltage range: 4.5V to 15V
- Guaranteed noise margin: 1.0V
- High noise immunity: 0.45 V_{CC} (typ.)
- Low power TTL compatibility: fan out of 2 driving 74L

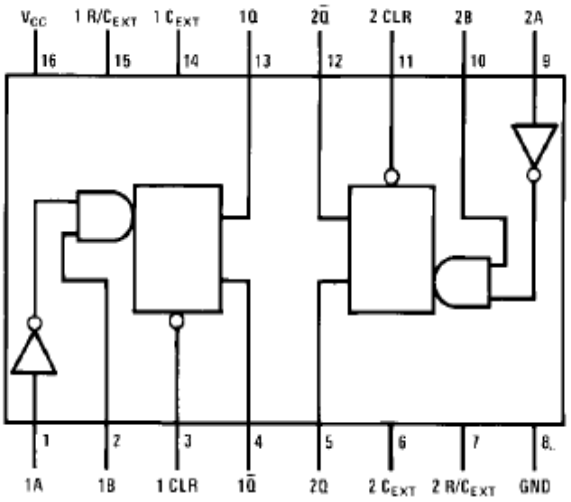
Ordering Code:

Order Number	Package Number	Package Description
74MMC221N	N16E	16-Lead Plastic Dual-In-Line Package (PDIP), JEDEC MS-001, 0.300" Wide

Connection Diagrams

Timing Component



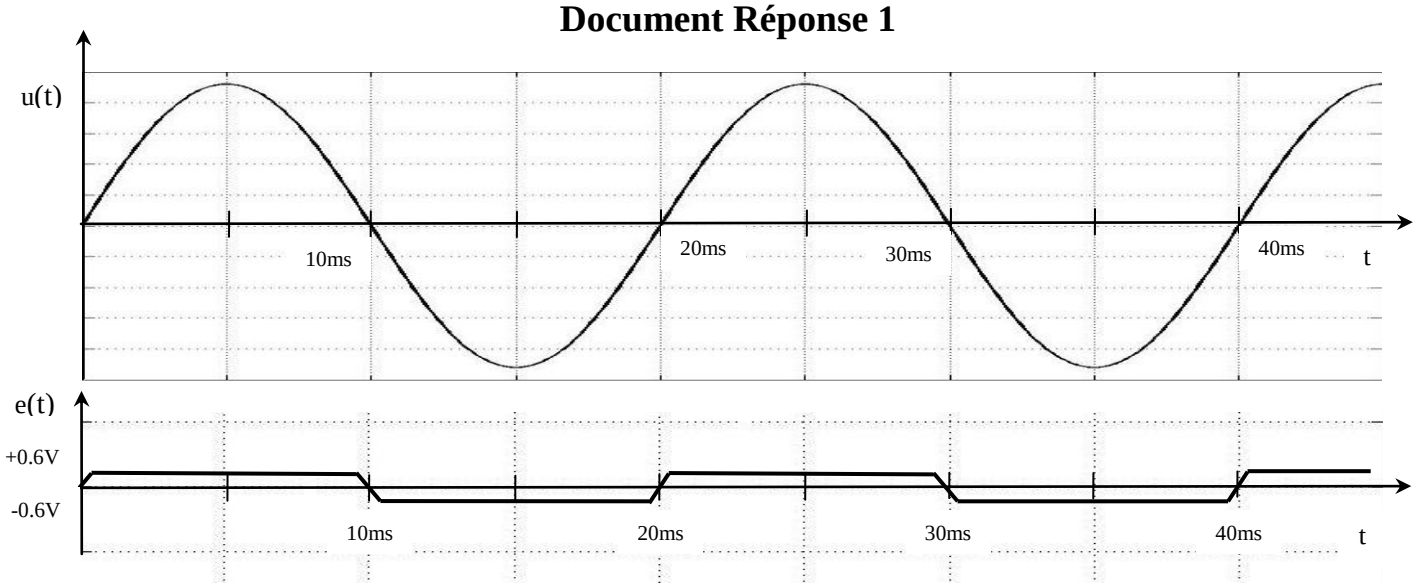


Truth Table

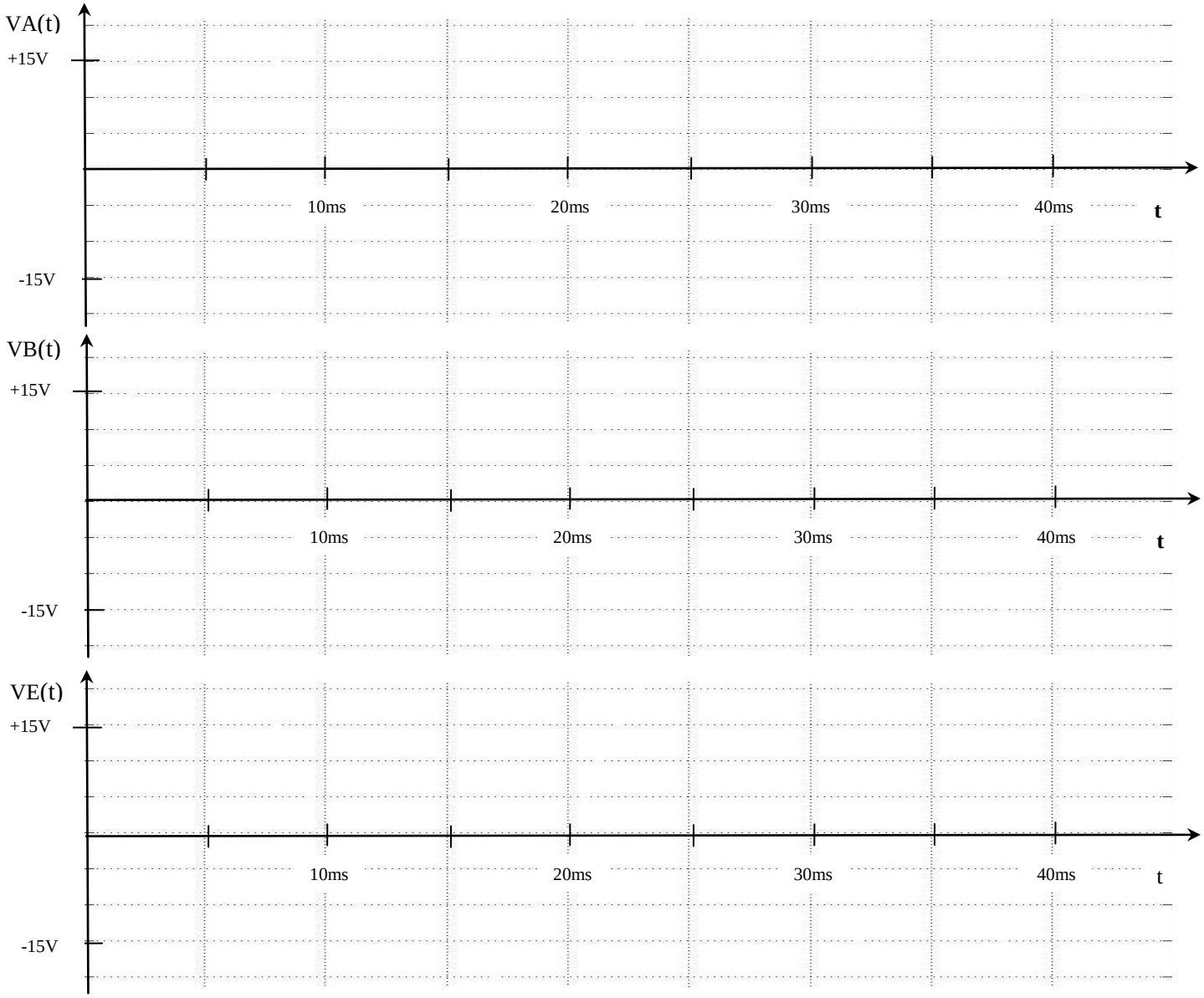
Inputs			Outputs	
Clear	A	B	Q	$\overline{Q}$
L	X	X	L	H
X	H	X	L	H
X	X	L	L	H
H	L	↑	⎍	⎏
H	↓	H	⎍	⎏

H = HIGH Level
L = LOW Level
X= Irrelevant
↑ = Transition from LOW-to-HIGH
↓ = Transition from HIGH-to-LOW
⎍ = One HIGH Level Pulse
⎏ = One LOW Level Pulse

Document Réponse 1

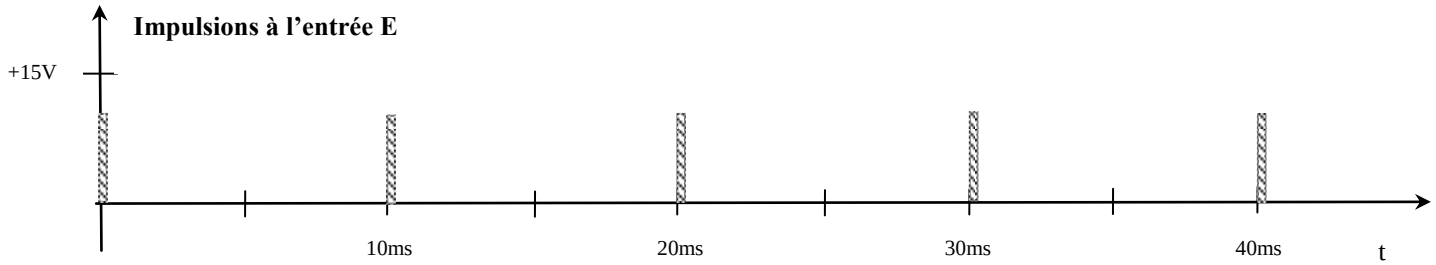


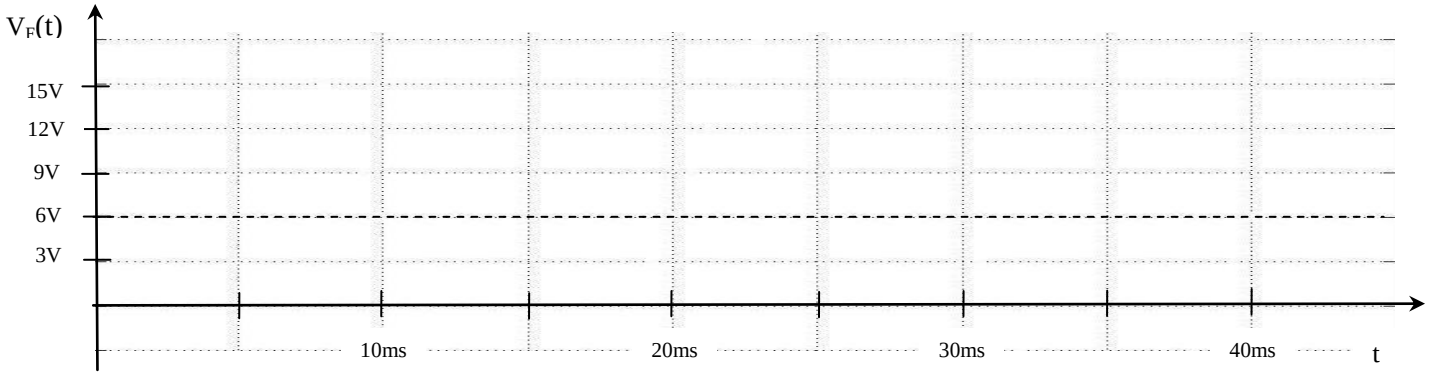
Questions : D.1.1. et D.1.3.

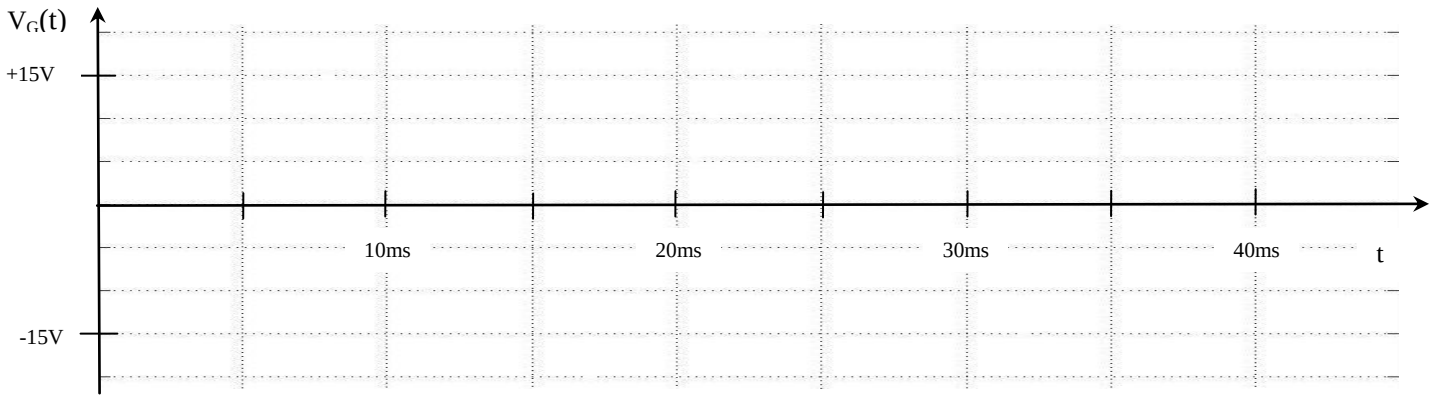


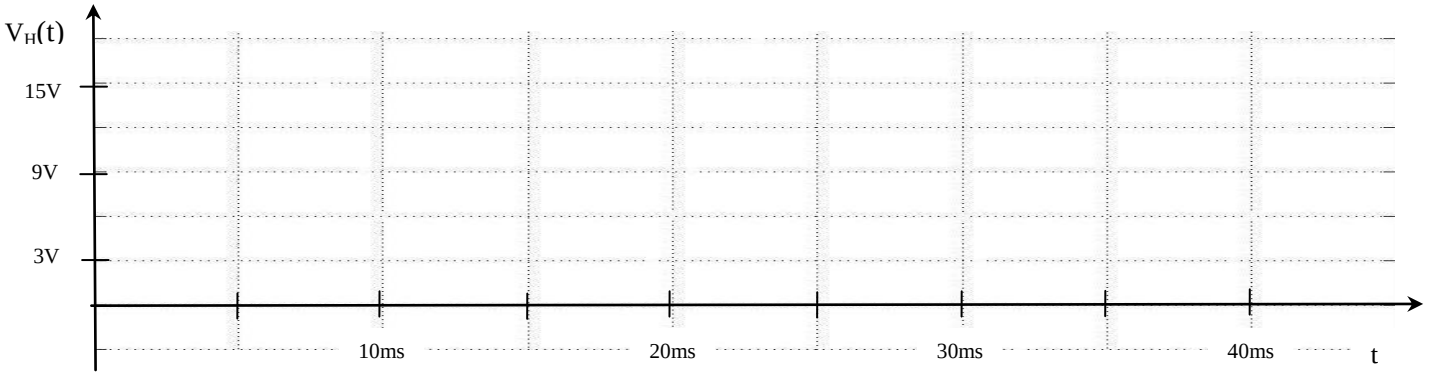
Document Réponse 2

Questions : D.2.3. ; D.2.4. et D.3.3.









Travailler les chapitres de ce sujet

Prepa Help suit le programme de TSI chapitre par chapitre : cours détaillé, méthodes, pièges, exercices et problèmes corrigés pas à pas, tirés des concours. L'essai gratuit donne accès aux chapitres offerts de ta filière, sans carte bancaire.

Chapitres liés à ce sujet

- Alimentation en énergie et stockage de l'énergie
- Correction d'un système asservi et correcteur numérique
- Performances d'un système asservi
- Amplificateur linéaire intégré
- Régimes transitoires

Ouvrir l'essai gratuit

Scanne le code ou clique sur le bouton.

prepahelp.com/#essai

Une question sur le concours ou sur ta filière : **écrire sur WhatsApp**

Les autres années et épreuves : prepahelp.com/annales/cnc/tsi